

基于 Three.js 的真实三维地形可视化设计与实现

任宏康¹, 祝若鑫¹, 李风光², 王新量³

(1. 信息工程大学 地理空间信息学院 河南 郑州 450052; 2. 海军出版社 天津 300450;
3. 68029 部队 甘肃 兰州 730030)

摘要: HTML5 的出现以及 WebGL 技术的推广, 为三维 WebGIS 提供了新的解决方案。针对强调具有真实感三维地形的构建与实现, 对 WebGL 第三方类库 Three.js 引擎进行了研究, 提出了基于瓦片、DEM 数据的三维地形构建方法, 并充分发挥 WebGL 开放性、免插件、跨平台、硬件加速的优势, 创建了基于浏览器的三维地形交互系统, 实验验证了该方法的可行性与有效性。

关键词: WebGL; Three.js; WebGIS; 三维地形; 瓦片; DEM

中图分类号: P209 **文献标识码:** A **文章编号:** 1672-5867(2015)10-0051-04

Design and Implementation of Realistic 3D Terrain Based on Three.js

REN Hong-kang¹, ZHU Ruo-xin¹, LI Feng-guang², WANG Xin-liang³

(1. College of Geography Space Information Institute, Information Engineering University, Zhengzhou 450052, China;
2. Naval Press, Tianjin 300450, China; 3. 68029 Troops, Lanzhou 730030, China)

Abstract: The emergence of HTML5 and promote of WebGL have provided a new solution for 3DWebGIS. For the construction and implementation of realistic 3D Terrain, researched the WebGL third-party library Three.js, proposed a way to construct 3D Terrain based on Tiles and DEM, and gave full play the WebGL open, free plug-in, cross-platform, hardware-accelerated advantages, created three-dimensional terrain browser-based interactive system. Do experiments to validate the feasibility and effectiveness of the method.

Key words: WebGL; Three.js; WebGIS; 3D terrain; tiles; DEM

0 引言

近年来, 计算机与互联网技术发展迅猛, Web3D 技术在此期间快速发展, 并趋于成熟, 在各领域都得到了广泛的应用。在 WebGIS 领域, 针对客户端三维实现采用的 Web3D 技术主要有 VRML、Flash、Silverlight、Java Applet、ActiveX、X3D 等。用户在对系统访问时需要安装几十 K 到几兆的具有很强封装性的插件, 这极大降低了系统的体验与实用性, 同时, 在系统移植方面也不灵活; 另一方面, 近两年移动智能终端的性能有了飞速的发展, 对于三维系统的构建, 只考虑基于 PC 端是不能满足所有需求的。所以, 以何种技术与方式构建开放的、跨平台的、免插件的且具有良好渲染与交互效果的三维 WebGIS 构建技术成为研究的热点和重点。

新一代的 HTML5 标准, 以及新一代的 3D 图形引擎

的 WebGL 技术, 可以解决上述难题。它们打破了时间与空间上的限制, 用户只需在网络环境中, 手持任意智能设备, 即可轻松对三维场景进行访问。本文针对三维 GIS 中的地形构建与可视化表达展开了研究与实验, 对瓦片数据与 DEM 数据进行了分析与数据提取设计, 实现了基于 WebGL 第三方库 Three.js 的实验系统, 具有免插件、跨平台、硬件加速的特性, 为三维地形可视化表达提供了一种新的方法与途径。

1 关键技术

本文采用的关键技术包括新一代 Web 标准 HTML5, 3D 绘图标准 WebGL 以及第三方类库 Three.js。其中 HTML5 具体可分为 HTML、CSS 和 JavaScript 技术, 致力于打造一个各系统平台无缝链接、更具交互功能的开放式环境, 创建一种更加丰富、轻便、独立的免插件、跨平台产

收稿日期: 2015-06-11

基金项目: 国家自然科学基金项目(41271392, 41401462) 资助

作者简介: 任宏康(1992-) 男, 辽宁铁岭人, 地图制图学与地理信息工程专业硕士研究生, 主要研究方向为三维 GIS 与地理信息系统开发。

品,因此添加了很多新的特性与元素,包括 Firefox、Google Chrome、Opera、Safari 4+、Internet Explorer 9+ 等主流浏览器都已支持 HTML5^[1]。正是利用这些特性,在进行三维表达时,无须再像 Flash、Silverlight 那样安装插,即可实现对像素级别的位图进行 2D 与 3D 动态渲染。

WebGL 是基于 OpenGL ES (OpenGL for Embedded Systems) 2.0 的 JavaScript 绑定,通过前端 HTML5 的 Canvas 元素实现三维复杂场景与模型的创建。相比其他 Web3D 实现,WebGL 具有一定的优势。首先,通过脚本语言 JavaScript 实现网络交互,克服了开发网页专用渲染插件的弊端;其次,WebGL 是开放的,可提高开发效率;再次,WebGL 可以充分利用底层的图像硬件加速功能实现三维图形的渲染^[2]。在 GIS 领域,当前许多公司都开始推出基于 WebGL 的 3D 地图产品,包括谷歌地图、诺基亚地图、必应地图、百度全景等,还有一些开源的项目,如 Cesium、WebGL Global、Open WebGL 等。

Three.js 依据 WebGL 规范,对底层 WebGL 代码进行简单封装,通过掩盖一些麻烦的细节,减轻开发者的开发负担并加快开发速率,在处理浏览器 3D 效果方面表现优异^[3]。Three.js 支持多种渲染器 (renderer) 进行场景绘制,提供了点、线、面、向量、矩阵等三维创建时所需的基本要素,并可以简单快速地将建镜头 (Cameras)、物体 (objects)、光线 (lights) 等对象添加到场景 (Scene) 中^[4]。Three.js 具有开放性,并提供的大量实例源代码,开发者可通过逆向工程,充分进行深入研究,进行三维场景创建,快速有效。

2 基于 Three.js 的真实三维地形设计

2.1 基本原理

真实三维地形的可视化需要顾及以下因素:DEM 数据、瓦片数据、用于显示实现的技术以及相应的纹理映射法则。考虑到地球曲率的影响以及实际应用,将地形设定为具有起伏的平面进行设计,利用 Three.js 提供的平面绘制接口 THREE.PlaneBufferGeometry 实现。采用基于瓦片创建三维地形的思想:地形的真实感由瓦片的级数、像素决定;绘制平面块的高、宽、片段数、位置由瓦片数据的大小、坐标、行列数决定;由于 WebGL 采用右手笛卡儿坐标,三维起伏的效果由 THREE.PlaneBufferGeometry 顶点数组 vertices 中的 y 值决定,需赋值依据瓦片获取的 DEM 高程数据;最后依据视野范围与瓦片位置,动态创建拼接平面块,生成具有真实感与实地坐标相符的三维地形。

2.2 瓦片与 DEM 数据的处理

三维地形的创建可看作瓦片数据与 DEM 数据的融合。融合需要采用统一的空间坐标系,将经纬度坐标进行转换,通常采用 Web 墨卡托投影。由于瓦片数据都是正方形,所以 X 轴与 Y 轴的取值范围都是 $[-20\ 037\ 508.342\ 789\ 2\ 20\ 037\ 508.342\ 789\ 2]$ 。当前几乎所有的网络地图都采用瓦片地图的方式,一个瓦片

的容量小,并利用金字塔模型进行管理与组织,能够快速有效地对地图进行调度和显示^[5]。一个瓦片的宽度与高度都是 256 像素,其格式大多为 png 与 jpg。瓦片除了反映地物的彩色图像内容外还包含:确定该切片在空间中位置的切图原点与瓦片行列号,确定瓦片所表示地物的范围大小的分辨率、分辨率级别和切图范围。这些信息数据量不大但均为关键性信息,这里将其编写为如表 1 的 json 文件,以便通过 JavaScript 进行读取。

表 1 Tile_info.json 文件说明
Tab.1 Tile_info.json file description

数据名称	注释
t_left	瓦片范围:左
t_top	瓦片范围:上
t_right	瓦片范围:右
t_bottom	瓦片范围:下
t_rows	瓦片行数
t_columns	瓦片列数
t_step	瓦片大小

表 2 DEM_info.json 文件说明
Tab.2 DEM_info.json file description

数据名称	注释
d_left	DEM 左下点 X 坐标
d_bottom	DEM 左下点 Y 坐标
d_rows	DEM 行数
d_columns	DEM 列数
d_step	DEM 栅格大小
d_elevations	保存高程数据的数组(-9999 为无值)

DEM 是按一定方式测定的一定数量离散点的平面位置和高程值,是对地形起伏的数字表达,狭义上讲,也可以看作是按照规则网格间隔进行采集的地面高程值的集合^[6]。DEM 数据文件的存储使用二进制方式或 ASCII 码的形式,其格式(扩展名)多种多样,一般可直接利用 txt 记事本打开。格式如国家测绘局所制定的*.grd、吉奥公司的*.dem、ARC/INFO 公司的*.asc 与 *.bil 等。其数据内容大致相同,包括文件标识、格网的行列数、格网范围的坐标参数、网格间隔的大小以及按一定顺序排列的高程值等。本文采用 ARC/INFO 的 GRID 格式(*.asc)的数据,通过编写好的文件读取操作输出为表 2 所示的 json 文件。

2.3 基于 DEM 的高程值获取

THREE.PlaneBufferGeometry 是基于规则网格进行平面绘制的,所以用于提取高程值的 DEM 数据模型同样采用规则网格模型,简单便捷,且具有高效的读取效率。对于不规则网格数据,应先处理成规则网格。如图 1 所示,通过叠加分析从 DEM 网格提取的所需目标瓦片网格内的高程值,依据对应的位置信息由 DEM 网格点插值获取,下面对提取过程进行详细表述。

首先,获取坐标位置信息。其中瓦片格网与 DEM 格网的左下点的坐标都是已知,设为 (TX_0, TY_0) 与 (DX_0, DY_0) ,同时两个格网的各自间隔都是已知,设为 D_i 与 D_d ,

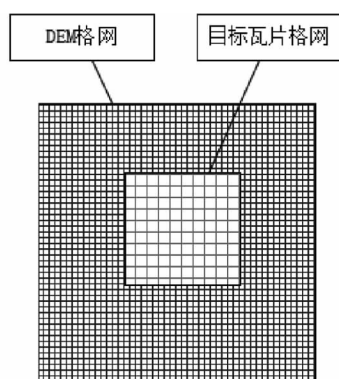


图 1 网格叠加分析

Fig. 1 Grid overlay analysis

则 DEM 网格中点 D_{ij} 的坐标与单独瓦片网格 T_{ij} 的左下角点坐标为(其中 i, j 为行列数):

$$\begin{cases} D_{ij} = (DX_0 + D_d \times i, DY_0 + D_d \times j) \\ T_{ij} = (TX_0 + D_t \times i, TY_0 + D_t \times j) \end{cases} \quad (1)$$

其次,根据所求瓦片网格点的坐标检索其周围的 DEM 网格点。为了与 THREE.PlaneBufferGeometry 绘制参数对应,确保地形的起伏效果,瓦片网格的行列数应与片段数 widthSegmen, heightSegments 对应,则第 T_{ij} 瓦片第 m 行 n 列网格点的坐标为:

$$T_{ij}(m, n) : (TX_0 + D_t \times i + \frac{D_t}{\text{seg}} \times m, TY_0 + D_t \times j + \frac{D_t}{\text{seg}} \times n) \quad (2)$$

式中, seg 为片段数(宽、高相同),那么,该网格点最邻近的左下角 DEM 网格点的行列号 M, N 为(其中, $\lfloor \cdot \rfloor$ 为向下取整函数):

$$\begin{cases} M = \lfloor \frac{T_{ij}(m, n)y - DY_0}{D_d} \rfloor \\ N = \lfloor \frac{T_{ij}(m, n)x - DX_0}{D_d} \rfloor \end{cases} \quad (3)$$

DEM 网格点的高程存放在 DEM_info.json 文件的 d_elevations 数组中,数据的存储是按先从上到下,再从左至右的顺序排列的。见表 3,提取瓦片网格点 $T_{ij}(m, n)$ 周围 4 点的高程值:

表 3 $T_{ij}(m, n)$ 周围四点高程值Tab. 3 $T_{ij}(m, n)$ around four point elevation

点位置	高程值
左下	$d_elevations[d_rows \times N + M]$
左上	$d_elevations[d_rows \times N + M - 1 \setminus]$
右上	$d_elevations[d_rows \times (N + 1) + M \setminus]$
右下	$d_elevations[d_rows \times (N + 1) + M - 1 \setminus]$

最后,通过双线性插值对点 $T_{ij}(m, n)$ 赋值。双线性插值同时考虑到了插值精度与计算机开销的问题,由于简单高效直观,常用于实际工程中。插值点与周围 4 点都具有线性关系,过渡平滑,质量好,适用于这种当前层重采样。设该 4 点的高程值依次用 $D1, D2, D3, D4$ 表示,其计算公式为:

$$\begin{aligned} T_{ij}(m, n) = & \frac{(T_{ij}(m, n)x - DX_0) \% D_d}{D_d} \times \frac{(T_{ij}(m, n)y - DY_0) \% D_d}{D_d} \times \\ & D1 + \frac{1 - (T_{ij}(m, n)x - DX_0) \% D_d}{D_d} \times \\ & \frac{(T_{ij}(m, n)x - DX_0) \% D_d}{D_d} \times D2 + \\ & \frac{(T_{ij}(m, n)x - DX_0) \% D_d}{D_d} \times \frac{(T_{ij}(m, n)y - DY_0) \% D_d}{D_d} \times \\ & D3 + \frac{1 - (T_{ij}(m, n)x - DX_0) \% D_d}{D_d} \times \\ & \frac{1 - (T_{ij}(m, n)y - DY_0) \% D_d}{D_d} \times D4 \end{aligned} \quad (4)$$

其中, % 为求余计算。最后通过循环遍历,计算出 T_{ij} 瓦片所包含的所有网格点的高程值(共 $(\text{seg} + 1) \times (\text{seg} + 1)$) ,将其存入瓦片高程值数组 Tiles_vertices[i][j] 中,返回给函数 THREE.PlaneBufferGeometry,供其进行地形绘制。

2.4 LOD 模型的组织设计

LOD (Levels of Detail) 细节层次模型技术是在不影响视觉效果的前提下,依据模型节点在三维场景中的位置及其重要性,逐次简化模型的细节与几何复杂度,提高绘制算法的效率,对物体的渲染重新进行资源分配等^[7]。LOD 技术又分为离散型与连续型,离散型在不同 LOD 模型之间切换时具有很大的视觉突跳感,本文采用连续的 LOD,利用 three.js 提供的 THREE.LOD 接口进行三维地形 LOD 模型的组织,预先构建生成了 4 层 LOD 模型,采用静态的方式依据模型与摄像机的距离选择合适的细节层次模型。该 4 层 LOD 模型采用同样的纹理 floorMaterial,根据距离参数逐级进行模型的简化。

3 系统实现

首先,利用 Three.js 封装好的接口进行三维场景的基本搭建。包括场景 THREE.Scene、透视投影摄像机 (THREE.PerspectiveCamera)、平行光源 (THREE.DirectionalLight)、半球光源 (THREE.HemisphereLight)、WebGL 渲染器 (THREE.WebGLRenderer) 以及相机控制器 (THREE.OrbitControls)。下面进行三维地形模型的加载。

Three.js 对三维场景中模型的创建加载有两种方式,一种是直接导入 json, obj, vtk 等模型文件,另一种是使用 THREE.mesh 三维网格动态创建模型。THREE.Mesh 的实现需要两部分: Geometry 几何函数与 Material 纹理。这里 Geometry 加载的是 PlaneBufferGeometry,其属性 attributes, position, array 以 x, y, z 顺序逐点存储顶点的位置信息,决定地形的起伏与位置。Material 加载的是 MeshPhongMaterial(冯氏材质类型,具有光泽的材质感),其中 MeshPhongMaterial 的 map 参数则要加载采用文件方式存储的瓦片图片。绘制流程如图 2 所示。

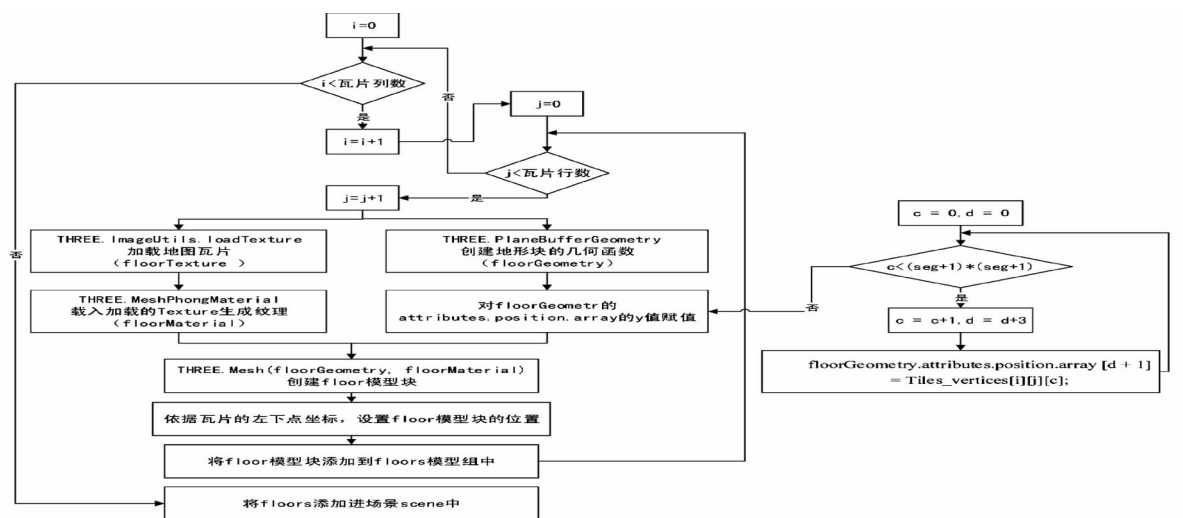


图2 三维地形实现流程图

Fig.2 3D terrain realization flow chart

通过浏览器进行访问,效果如图3所示。



图3 三维地形效果图

Fig.3 3D topographic map

对于 LOD 的实现,通过减少 THREE.PlaneBufferGeometry 的片段数进行简化操作,从底层依次逐级减少 position 数组的数量。4 层 LOD 模型分别为 20×20 , 10×10 , 5×5 , 2×2 网格。如图4是 5×5 网格从 10×10 网格提取高程值的方法:

```

for( var c=0, d=0; c<36; c++ , d+=3)
{
    vertices1[d+1] = Tiles_vertices[j][i][Math.floor( c / 6) * 22 + ( c%6) * 2 ];
}
  
```

THREE.LOD 的使用需要添加具体的 Mesh 地形模型以及距离参数,前面的 4 层网格对应的距离分别为 300, 800, 1500, 3000。将 LOD 添加到场景 scene 以此来进行层次的转换。图4(1)为 5×5 网格地形图与4(2)为 10×10 网格地形图,为两个层次下 Mesh 网格的绘制情况,网格相差的倍数为 4 倍,通过相机移动可流畅切换,无跳跃感。由此完成三维地形 LOD 模型的组织与创建,快捷高效,效果良好。

4 结束语

本文利用 HTML5 与 WebGL 第三方类库 Three.js 技术,基于瓦片信息对真实三维地形进行了设计与实现。

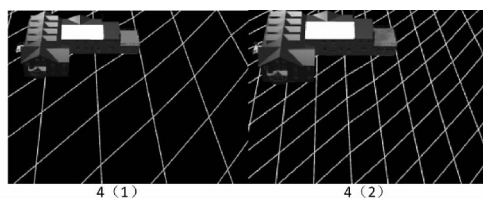


图4 Lod 模型简化

Fig.4 LOD model simplification

首先对瓦片数据与 DEM 数据进行了分析研究,继而基于瓦片信息从 DEM 数据中提取所需高程值,再利用 Three.js 接口 THREE.PlaneBufferGeometry 进行了三维地形可视化,最后使用 THREE.LOD 创建组织 4 层 LOD 模型。该方案具有开放、免插件、跨平台的优势,是一种新型有效的 3DWebGIS 方案,为用户带来了全新的良好体验。

参考文献:

- [1] Lawson B, Sharp R. Introducing HTML5 [M]. United States of America: Pearson Education, 2010.
- [2] 刘爱华, 韩勇, 张小垒, 等. 基于 WebGL 技术的网络三维可视化研究与实现 [J]. 地理空间信息, 2012 (5): 79-81.
- [3] Cui Peng. The Research and Design Of 3D Web Guide System Based On WebGL [A]. 第 26 届中国控制与决策会议论文集, 2012.
- [4] 许虎, 聂云峰, 舒坚. 基于中间件的瓦片地图服务设计与实现 [J]. 地球信息科学学报, 2010 (4): 562-567.
- [5] 李志林, 朱庆. 数字高程模型 [M]. 武汉: 武汉大学出版社, 2001.
- [6] 杜剑侠, 李凤霞, 战守义. LOD 算法研究及其在地形实时显示中的应用 [J]. 计算机工程与应用, 2005 (13): 211-213.

[编辑: 任亚茹]